

С.І. Яремій

### Кристалічна структура приповерхневих шарів монокристалів $Gd_3Ga_5O_{12}$ , імплантованих йонами $He^+$

*Прикарпатський національний університет імені Василя Стефаника,  
вул. Шевченка, 57, м. Івано-Франківськ, 76025, Україна*

У роботі, використовуючи сучасні експериментальні методи дво- і трикристаліної  $X$ -променевої дифрактометрії, та теоретичні підходи – узагальнену динамічну теорію розсіяння  $X$ -променів, проаналізовано закономірності перебудови кристалічної структури йонно-імплантованих приповерхневих шарів монокристалів ГГГ у залежності від величини дози імплантації йонами  $He^+$ ; проведено ідентифікацію основних типів ростових і радіаційних дефектів, та визначені їх кількісні характеристики. Показано, що основними типами складних радіаційних дефектів, які утворюються в приповерхневих шарах монокристалів ГГГ при імплантації йонами  $He^+$ , є дислокаційні петлі, концентрація яких із ростом дози збільшується, а радіус зменшується.

Проаналізовано процеси, які відбуваються в приповерхневих імплантованих йонами  $He^+$  шарах монокристалів ГГГ при їх природному старінні. Показано, що процес природного старіння імплантованих йонами  $He^+$  приповерхневих шарів монокристалів ГГГ характеризується двома етапами, перший з яких супроводжується зростанням величини максимальної деформації, зміщенням профілів відносної деформації до поверхні та збільшенням радіусів дислокаційних петель, а другий – спаданням величини максимальної деформації, зміщенням профілів відносної деформації в глибину та зменшенням радіусів дислокаційних петель.

Встановлено, що стан приповерхневих порушених шарів у площині пластин імплантованих йонами  $He^+$  монокристалів ГГГ є повністю напруженим, при цьому деформація кристалічної ґратки у імплантованому шарі відбувається тільки у перпендикулярному до площини пластин напрямку. Показано вплив йонного опромінення на механічні властивості порушених приповерхневих шарів монокристалів ГГГ.

**Ключові слова:** монокристали гадоліній-галієвого гранату, йонна імплантація, радіаційні дефекти,  $X$ -променева дифрактометрія, профілі відносної деформації.

S.I. Yaremii

### The Crystal Structure of Near-Surface Layers of $Gd_3Ga_5O_{12}$ Single Crystals Implanted by $He^+$ Ions

*Vasyl Stefanyk' Precarpathian National University,  
57, Shevchenko Str., Ivano-Frankivsk, 76025, Ukraine*

Using both the modern experimental methods of double-crystal and tricrystal  $X$ -ray diffractometry and the generalized dynamic theory of  $X$ -ray scattering the regularities of the crystal structure of ion-implanted near-surface layers of gadolinium-gallium garnet (GGG) single crystals depending on the dose implantation by  $He^+$  ions are analysed in this paper; the main types of radiation defects are identified and their quantitative characteristics are determined too. It is shown that the main types of complex radiation defects formed in the surface layers of GGG single crystals at  $He^+$  ion implantation are the dislocation loops, whose concentration increases with increasing of dose, and the radius decreases.

The processes occurring in near-surface layers of  $He^+$ -implanted GGG single crystals at their natural aging are analysed. It is shown that the natural aging process of  $He^+$ -implanted layers of GGG single crystals are characterized by two stages, the first of which was accompanied by increasing of maximum deformation (straining) and the second – its reduction.

It is determined that the state is completely strained in the plane of ion-implanted GGG single crystals. The effect of ion irradiation on their mechanical properties is shown.

**Key words:** GGG single crystals, ion implantation, radiation defects,  $X$ -ray diffractometry, straining profiles.

*Стаття поступила до редакції 25.01.2011; прийнята до друку 25.02.2011.*

## Вступ

Монокристали гадоліній-галієвого гранату (ГГ,  $Gd_3Ga_5O_{12}$ ) широко використовуються як матеріал оптоелектронної техніки (хвилеводи, люмінофори для світлодіодів), так і в якості підкладок для ферит-гранатових плівок, які застосовуються в НВЧ-техніці, магнітооптиці, сенсорах магнітних полів. Вони є зручними модельними зразками із складним базисом для дослідження розподілу структурних дефектів (ростових, наведених післяростовою обробкою) в об'ємі та приповерхневих шарах монокристалів. Крім того, на відміну від гетероструктур (ферит-гранатових плівок), в яких розподіл дефектів та їх тип суттєво залежить від величини механічної напруги, в монокристалах ГГ можна дослідити "чисті ефекти", які виникають в матеріалах із структурною гранату при їх модифікації.

Одним із перспективних методів впливу на приповерхневі шари монокристалів, з метою цілеспрямованого надання їм необхідних властивостей, є йонна імплантація, унікальні можливості якої пов'язані, насамперед, із нерівновагим самим процесом, що дозволяє подолати принципи обмеження методів хеміко-термічної обробки. Особливістю йонної імплантації легкими йонами є можливість одержання матеріалів із різним ступенем деформації приповерхневих шарів при незначному руйнуванні структури матриці.

Структурні неоднорідності, зумовлені як ростовими так і радіаційно спричиненими дефектами, а також взаємодією між дефектами, мають визначальний вплив на властивості матеріалів. Крім того, наявність механічних напруг, наведених йонною імплантацією, сприяє процесам старіння, що призводить до зміни робочих параметрів елементів пристроїв у процесі експлуатації. Тому, вивчення зміни параметрів кристалів після їх модифікації та з часом, розуміння перебігу релаксаційних процесів, що відбуваються в приповерхневих шарах монокристалів, є необхідною передумовою отримання матеріалів із визначеними стабільними фізичними властивостями.

Для коректного опису параметрів дефектної підсистеми кристалів необхідно вибрати оптимальну модель дефектної структури. Також слід враховувати й те, що дефекти різних типів можуть бути взаємопов'язаними і по-різному впливати на хід структурних змін. Тому, проблема однозначного вибору домінуючих типів мікродефектів та побудови на їх основі моделей дефектної структури у кристалах ГГ може бути розв'язана шляхом узагальнення усієї інформації про можливі структурні зміни в кристалах. Одним з експериментальних методів, які дають можливість це зробити, є високороздільна  $X$ -променева дифрактометрія.

Найбільш адекватний опис процесів розсіяння  $X$ -променів у монокристалах можливий засобами узагальненої динамічної теорії дифракції, за допомогою якої можна проводити аналіз як когерентної, так і дифузної складових розсіяння  $X$ -променів, визначати типи переважаючих структурних дефектів, їх концентрацію та розміри.

Незважаючи на значну кількість праць з дослідження монокристалів із структурною гранату, вказані підходи практично не використовувалися для аналізу дефектної підсистеми даних матеріалів та до модифікованих йонною імплантацією приповерхневих шарів у них. Відсутня інформація про процеси релаксації радіаційних дефектів у йонно-імплантованих шарах. Тому, визначення кількісних характеристик радіаційних дефектів та встановлення механізмів їх релаксації в монокристалах ГГ має як практичне, так і наукове значення.

Аналітичний огляд літературних джерел, що висвітлює теоретичні та експериментальні аспекти досліджуваної тематики, показав на необхідність представлення будови елементарної комірки монокристалів із структурною гранату. Показано, що основними типами ростових дефектів, які виникають в ГГ при їх вирощуванні методом Чохральського, є точкові дефекти, дислокації, включення чужорідних фаз. Післяростова обробка пластин монокристалів ГГ призводить до появи на їх поверхні подряпин, виколів, ямок травлення. Проаналізовано вплив імплантації легких та важких йонів на кристалічну структуру гранатових матеріалів, а також викладено закономірності перебудови модифікованого йонною імплантацією приповерхневого шару.

Наявні в літературі дані про властивості йонно-імплантованих матеріалів із структурною гранату в більшості випадків стосуються магнітних характеристик, а дослідження кристалічної структури зазвичай обмежуються профілями відносної деформації. Практично відсутні літературні дані про еволюцію дефектної підсистеми йонно-імплантованого шару в процесі старіння. Тому є необхідність у визначенні кількісних характеристик радіаційних дефектів у монокристалах ГГ та встановленні механізмів їх релаксації.

Таким чином, аналіз кристалічної структури монокристалів ГГ, модифікованих імплантацією йонами  $He^+$ , є перспективним і актуальним завданням.

## I. Мета і завдання дослідження

Основною метою роботи було вивчення кристалічної структури імплантованих йонами  $He^+$  приповерхневих шарів монокристалів ГГ, проведення ідентифікації основних типів радіаційних дефектів та визначення їх кількісних

характеристик, дослідження процесу релаксації радіаційних дефектів з часом.

Для досягнення даної мети вирішувалися наступні завдання:

1. Дослідити кристалічну структуру неімплантованих монокристалів ГГ.

2. Встановити основні типи дефектів кристалічної структури у імплантованих йонами  $He^+$  приповерхневих шарах монокристалів ГГ.

3. Вивчити зміни механічних властивостей приповерхневих шарів монокристалів ГГ при їх модифікації шляхом імплантації йонами  $He^+$ .

4. Проаналізувати еволюцію радіаційних дефектів у процесі старіння при кімнатних температурах.

**Об'єкт дослідження:** структурні зміни в монокристалах ГГ, імплантованих йонами  $He^+$ .

**Предмет дослідження:** кристалічна структура приповерхневих шарів монокристалів ГГ, імплантованих йонами  $He^+$ , та її зміни у процесі старіння.

## II. Методи та технології дослідження

Виконання вище вказаних завдань здійснювалося за допомогою комплексу  $X$ -променевих дифрактометричних методів (дво- та трикристальна дифрактометрія із різними методами сканування), математичної обробки експериментальних результатів  $X$ -променевих досліджень засобами узагальненої динамічної теорії розсіяння  $X$ -променів, моделювання процесу йонної імплантації, вимірювання мікротвердості та радіусів кривини пластин монокристалів.

Описано технологію отримання монокристалів ГГ, їх післяростової обробки та модифікації методом йонної імплантації. Звертаємо увагу на особливості методів дослідження та обробки експериментальних результатів.

Монокристалічні пластинки гадоліній-галієвого гранату з площиною зрізу (111), які досліджувалися у роботі, було отримано із буля, вирощеного методом Чохральського. Післяростова обробка монокристалів ГГ за допомогою механічного шліфування, механічного, хеміко-механічного та хемічного полірування забезпечила 14 клас шорсткості поверхні.

Імплантація йонів  $He^+$  з енергією 100 кеВ у інтервалі доз  $1 \cdot 10^{15} \text{ см}^{-2}$  –  $1 \cdot 10^{16} \text{ см}^{-2}$  у монокристали ГГ проводилася на імплантаторі МРВ-202 фірми "Balzers" в режимі, що виключає каналування.

Дослідження кристалічної структури неімплантованих монокристалів ГГ та йонно-імплантованих приповерхневих шарів монокристалів ГГ проводилося методами дво- та трикристальної  $X$ -променевої дифрактометрії на установках ДРОН-2.0 (монохроматор ГГ) та

високороздільному трикристальному дифрактометрі "X'Pert PRO MRD XL" (монохроматор Ge (220)) у бездисперсійній схемі з використанням  $CuK_{\alpha 1}$  випромінювання.

Експериментальні КДВ, отримані від неімплантованих та імплантованих монокристалів ГГ, моделювалися із використанням узагальненої динамічної теорії розсіяння  $X$ -променів, яка дає можливість враховувати наявність у структурі дефектів різних типів.

При визначенні з експериментальних КДВ профілів відносної деформації в імплантованих йонами  $He^+$  монокристалах ГГ неоднорідний приповерхневий шар розділявся на підшари, в кожному з яких вважалось, що усереднена по сукупності наявних дефектів деформація є постійною, а дефекти розподілені однорідно. Амплітуда когерентної складової розсіяння  $X$ -променів від непорушеної частини монокристалу обчислювалася за узагальненою динамічною теорією, а від порушеного шару – за рівняннями Такагі для дискретно-шаруватої структури.

Розрахунок теоретичних КДВ здійснювався із врахуванням наявності в порушеному шарі точкових дефектів і дислокаційних петель, а в непорушеній частині монокристалу крім точкових дефектів враховувалась наявність ростових мікродефектів (дислокаційних петель). Точкові дефекти моделювалися сферичними кластерами радіусом 0,5 нм.

## III. Результати та обговорення

**1. Аналіза результатів досліджень кристалічної структури неімплантованих та імплантованих йонами  $He^+$  монокристалів ГГ** показала, що експериментальні КДВ (відбивання (444) та (888)) з використанням  $\omega/2\theta$  сканування по трикристальній схемі та  $\omega$  сканування по дво- та трикристальній схемі (рис. 1) від неімплантованих монокристалів ГГ отримувалися на високороздільному  $X$ -променевому дифрактометрі "X'Pert PRO MRD XL".

Спроби наближення експериментальних КДВ теоретичними у припущенні існування сферичних чи дископодібних кластерів не були успішними. Також не були успішними наближення із введенням в модель дислокаційних петель тільки одних розмірів. Найкраще співпадання теоретичної та експериментальної КДВ (рис. 2) спостерігалось при наявності в неімплантованих монокристалах ГГ дислокаційних петель двох розмірів (табл. 1).

Адекватність вибраної моделі дефектної підсистеми підтверджується близькістю теоретичних та експериментальних КДВ, отриманих різними методами сканування та від різних рефлексів.

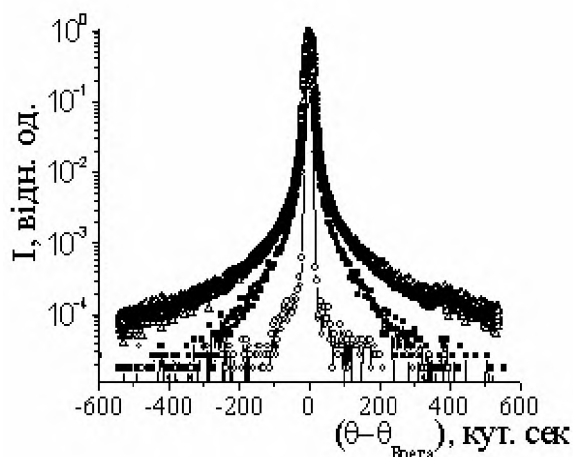


Рис. 1. Криві дифракційного відбивання (444):  
 $\Delta$  –  $\omega$ -двокристальна схема,  
 $\circ$  –  $\omega$ -трикристальна схема,  
 $\blacksquare$  –  $\omega/2\theta$ -трикристальна схема.

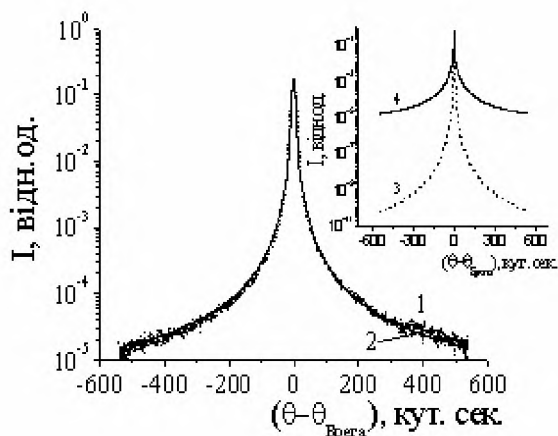


Рис. 2. Експериментальна (1) та теоретична [з урахуванням апаратного уширення] (2) КДВ (444) від пластини монокристалу ГТТ. На вставці – когерентна (3) та дифузна (4) складові теоретичної КДВ.

Таблиця 1

Параметри дислокаційних петель у неімплантованих монокристалах ГТТ

<i>HKL</i>	Радіус, нм	Концентрація, см <sup>-3</sup>	Радіус, нм	Концентрація, см <sup>-3</sup>
444	5,0	1·10 <sup>15</sup>	600	1,2·10 <sup>10</sup>
888	5,4	1·10 <sup>15</sup>	590	1,1·10 <sup>10</sup>

**2. На КДВ, отриманих від імплантованих йонами He<sup>+</sup> монокристалів ГТТ, крім інтенсивного піку від непорушеної йонною імплантацією частини монокристалу спостерігаються малоінтенсивні осциляції від розсіяних на приповерхневому деформованому шарі X-променів, що свідчить про зміни в кристалічній структурі приповерхневих шарів.**

**3. Розрахунок профілів відносної деформації** здійснювався у припущенні його пропорційності профілю радіаційних дефектів

(справедливо при низьких дозах опромінення), який, у свою чергу, можна представити сумою двох складових. Перша з них формується в результаті ядерних енергетичних втрат (описується асиметричною гауссією), а друга – за рахунок електронних енергетичних втрат (описується спадною гауссією). Тому, профіль відносної деформації у імплантованих легкими йонами приповерхневих шарах монокристалів ГТТ задавався у вигляді суми асиметричної та спадної гауссіан:

$$\frac{\Delta d}{d}(h) = \begin{cases} \left. \frac{\Delta d}{d} \right|_{n \max} \exp \left[ - \left( \frac{h - R_{pn}}{w_{n1}} \right)^2 \right] & \text{при } h < R_{pn} \\ \left. \frac{\Delta d}{d} \right|_{n \max} \exp \left[ - \left( \frac{h - R_{pn}}{w_{n2}} \right)^2 \right] & \text{при } h \geq R_{pn} \end{cases} + \frac{\Delta d}{d} \Big|_{e \max} \exp \left[ - \left( \frac{h - R_{pe}}{w_e} \right)^2 \right], \quad (1)$$

де  $h$  – відстань, яка відраховується від поверхні кристалу вглибину;  
 $R_{pn}$  – точка об'єднання віток гауссіан;  
 $w_{n1}$ ,  $w_{n2}$  і  $w_e$  – параметри гауссіан, які характеризують їх ширину на піввисоті. Індeksi  $n$  і  $e$  означають, що вказані параметри характеризують складові профілю відносної деформації, обумовлені ядерними та

електронними енергетичними втратами йона-імплантанта відповідно.

**4. Наявність структурних дефектів** призводить до відхилень атомів від їхнього рівновагового положення у кристалічній ґратці, що відбивається на зменшенні інтегральної інтенсивності когерентної складової і описується статичним фактором Дебая-Валлера  $L$ . При розрахунках

теоретичних КДВ залежність статичного фактора  $E$  від глибини задавалася у вигляді:

$$E(h) = e^{-L(h)} = 1 - \left( \frac{\frac{\Delta d}{d}(h)}{\frac{\Delta d}{d}_{\max}} \right)^2 k^2, \quad (2)$$

де  $k$  – коефіцієнт, який змінюється при наближенні теоретичної КДВ до експериментальної.

Використовуючи вище вказані функції та цілеспрямовано змінюючи їхні параметри за допомогою спеціально складеної програми обчислювалися профілі відносної деформації та статичних факторів.

**5. Розраховані профілі відносної деформації** у всьому досліджуваному інтервалі доз є однотипними (рис. 3). Зміна величини відносної максимальної деформації та відносної деформації на поверхні в інтервалі доз  $1 \cdot 10^{15}$  –  $6 \cdot 10^{15} \text{ см}^{-2}$  (рис. 4) має лінійний характер, який порушується при більших значеннях доз опромінення, що свідчить про початок перекриття каскадів змішених атомів. Товщина деформованого шару в монокристалах ПТ з дозою незначно зростає (рис. 5), а положення максимальної деформації зміщується до поверхні. Екстремальне значення статичного фактора  $E$  (значення в ділянці максимальної відносної деформації) із ростом величини дози імплантації лінійно зменшується, причому для доз імплантації вище  $6 \cdot 10^{15} \text{ см}^{-2}$  ця лінійність порушується.

Моделювання теоретичної КДВ імплантованих зразків засобами узагальненої динамічної теорії розсіяння  $X$ -променів проводилося із врахуванням наявності дефектів (табл. 1) у неімплантованій частині монокристалічних пластин.

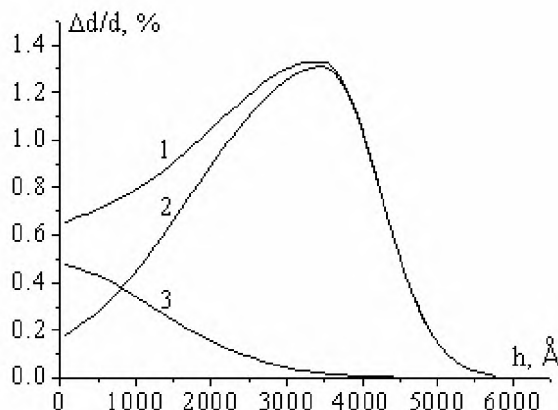


Рис. 3. Профіль відносної деформації (1) в приповерхневому шарі монокристалів ПТ, імплантованих йонами  $He^+$ , та його складові, обумовлені ядерними (2) та електронними (3) енергетичними втратами йона-імплантанта ( $E=100 \text{ кеВ}$ ,  $D = 4 \cdot 10^{15} \text{ см}^{-2}$ ).

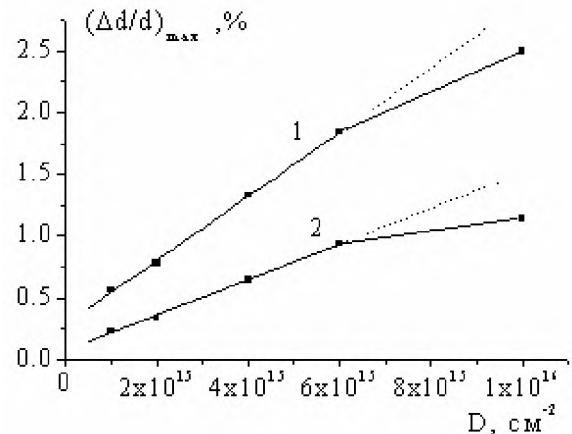


Рис. 4. Дозова залежність максимальної відносної деформації (1) та деформації на поверхні (2) монокристалів ПТ, імплантованих йонами  $He^+$  ( $E = 100 \text{ кеВ}$ ).

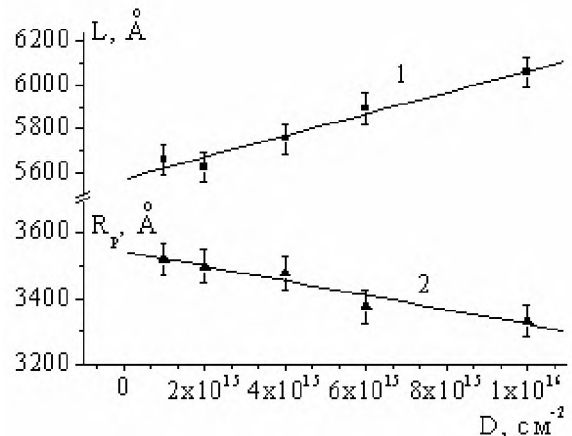


Рис. 5. Зміна товщини деформованого шару  $L$  (1) та положення максимальної деформації  $R_p$  (2) з дозою в імплантованих йонами  $He^+$  монокристалах ПТ.

**6. Зважаючи на те**, що при  $\omega$ -скануванні з широкою щільною перед лічильником у всій ділянці додаткової осциляційної структури КДВ фіксується як когерентне, так і дифузне розсіяння від приповерхневого порушеного шару, і їх розділення є практично неможливим, для аналізу дефектів у йонно-імплантованому шарі використовувалася частина КДВ, розміщена за додатковою осциляційною структурою, в якій вклад когерентної складової не перевищує 5%.

**7. Складні дефекти** в йонно-імплантованому шарі моделювалися дислокаційними петлями, радіус та концентрація яких вважалися пропорційними відповідним профілям відносної деформації. Визначені із експериментальних КДВ (444) параметри дислокаційних петель у максимально деформованому шарі характеризуються рядом наборів значень радіусів  $R$  та концентрацій  $n$ , які приводять до задовільного співпадання теоретичних КДВ з експериментальними. Залежності параметрів дислокаційних петель  $n(R)$  у логарифмічному масштабі для

різних величин доз опромінення є лінійними (рис. 6).

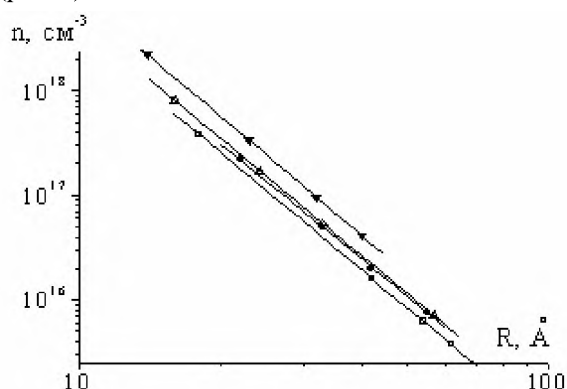


Рис. 6. Залежність концентрації дислокаційних петель у максимально деформованому шарі монокристалу ГГ від їх радіуса при різних дозах імплантації йонами  $He^+$ :

□ –  $2 \cdot 10^{15} \text{ см}^{-2}$ , ● –  $4 \cdot 10^{15} \text{ см}^{-2}$ ,  
 Δ –  $6 \cdot 10^{15} \text{ см}^{-2}$ , ▼ –  $1 \cdot 10^{16} \text{ см}^{-2}$ .

**8. Для уточнення інформації про параметри дефектної структури йонно-імплантованого шару отримувалися експериментальні КДВ (888) із використанням  $\omega$  та  $\omega/2\theta$  сканування. Для відбивань (888) величини статичного фактора  $E$  в порівнянні з відбиваннями (444) є меншими на  $\sim 20\%$ , що проявляється у зниженні інтенсивності когерентної та зростанні інтенсивності дифузної складових, і призводить до підвищення точності визначення параметрів дефектної підсистеми. На КДВ це особливо проявляється в останній осциляції, яка відповідає максимальній деформації.**

**9. Оптимальне наближення експериментальних КДВ теоретичними отримуються при параметрах дислокаційних петель, представлених на рис. 7. Із збільшенням дози опромінення радіус дислокаційних петель зменшується, а їх концентрація зростає, що призводить до росту величини статичного фактора Дебая-Валлера  $L$  та інтенсивності дифузного розсіяння.**

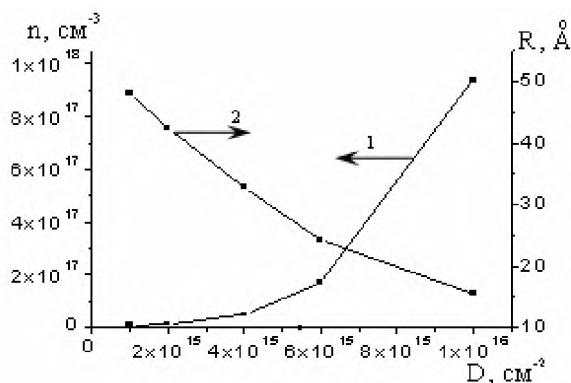


Рис. 7. Залежність концентрації (1) та радіуса дислокаційних петель (2) у максимально деформованому шарі імплантованих йонами  $He^+$  монокристалів ГГ від дози йонної імплантації.

Приклад КДВ, які відповідають параметрам дефектів при найкращому наближенні теоретичної КДВ до експериментальної для відбивання (444), представлено на рис. 8.

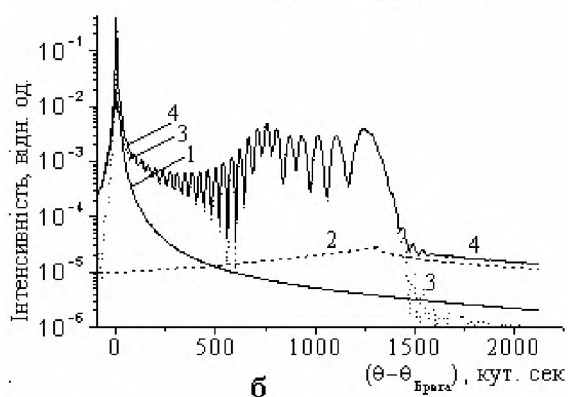
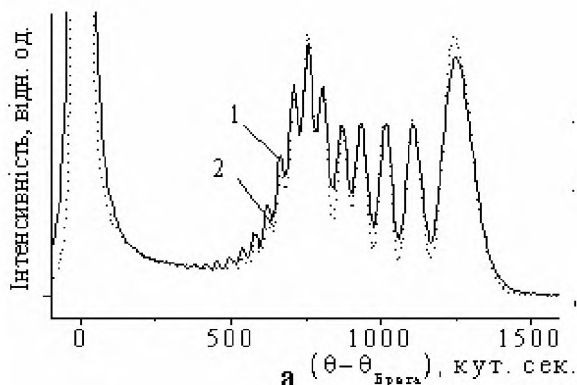


Рис. 8. КДВ (444) монокристалу ГГ, імплантованого йонами  $He^+$  з енергією 100 кеВ і дозою  $4 \cdot 10^{15} \text{ см}^{-2}$ : а – експериментальна (1) та теоретична із урахуванням апаратного уширення (2); б – теоретична КДВ без врахування апаратного уширення (4) та її складові: когерентна (3) та дифузна від недеформованої частини монокристалу (1) і деформованого шару (2).

**10. Пояснення отриманих залежностей** впливають із результатів моделювання процесу імплантації йонів  $He^+$  в монокристали ГГ за допомогою програми SRIM-2008. Виявлено, що при кожному прольоті йона-імплантанта в треку виникають 3-5 ділянок, в яких міститься більше 10 вибитих йонів матриці. Очевидно, що саме ці ділянки розупорядкування стають центрами виникнення дислокаційних петель. Із набором дози опромінення кількість вказаних центрів зростає, а розмір утворених із них дислокаційних петель зменшується за рахунок зростання кількості можливих стоків для одиничних дефектів.

**11. Представлені результати аналізу параметрів елементарної комірки та досліджень механічних властивостей приповерхневих шарів монокристалів ГГ, імплантованих йонами  $He^+$ .** Модифікація приповерхневих шарів шляхом йонної імплантації призводить до пониження симетрії кристалічної ґратки монокристалів ГГ від кубічної до ромбоєдричної (деформація в

перпендикулярному до площини зразка напрямку [111]). Для вивчення трансформації кристалічної ґратки в йонно-імплантованому шарі було отримано КДВ (880) від площин (110), розміщених під кутом  $\approx 35^\circ$  до площини зрізу монокристала (111).

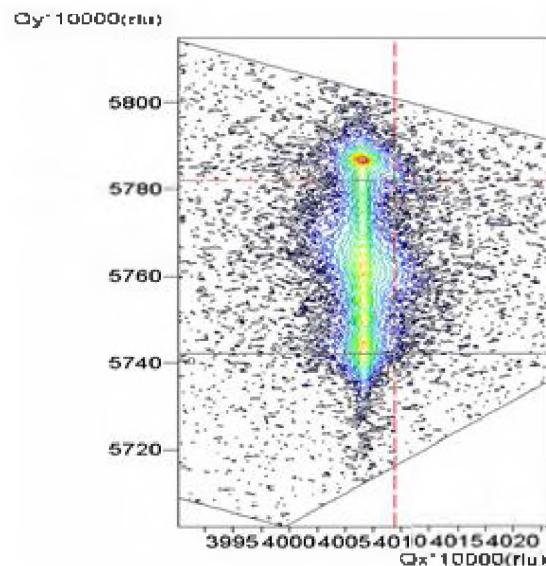
За обчисленими профілями відносної деформації із рефлексів (444) та (880) розраховувалися сталі ґратки ромбоєдрично деформованих елементарних комірок  $a_p$  та величини кутів  $\alpha$  при їх вершині на різних відстанях від поверхні зразка. Як показали розрахунки,  $a_p$  є меншою по всій товщині порушеного шару за аналогічні сталі ґратки, обчислені в псевдокубічному наближенні

( $a = d_{hkl} \sqrt{h^2 + k^2 + l^2}$ ), а кут при вершині ромбоєдра менший  $90^\circ$ . З ростом величини дози опромінення спостерігалось збільшення  $a_p$  та зменшення величини кута  $\alpha$  при вершині ромбоєдра.

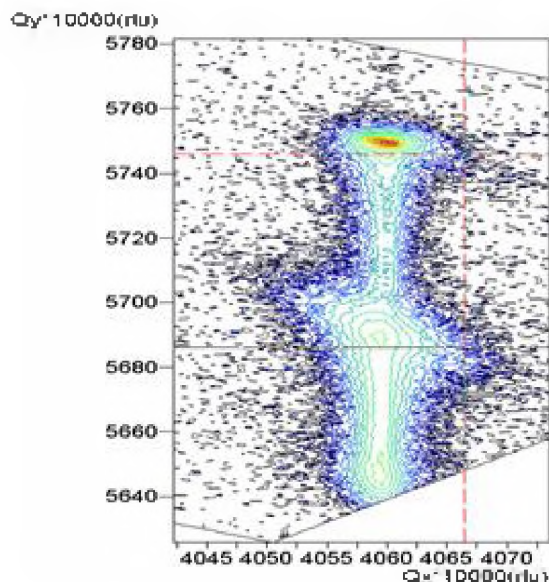
**12. Однак, використання асиметричних відбивань не дало можливості надійно встановити зміни міжплощинної відстані в площині пластин монокристалів ГТГ в йонно-імплантованому шарі.** Тому, для одержання інформації про напружений стан деформованого шару використовувалися карти оберненого простору поблизу вузла (880), які дають можливість оцінити ступінь релаксації шаруватих структур. Із карт оберненого простору монокристалів ГТГ, імплантованих йонами  $He^+$  (рис. 9) видно, що міжплощинна відстань в площині імплантованого шару відповідає аналогічній величині у непошкодженій частині монокристалу. Це дає можливість зробити висновок про повністю напружений стан йонно-імплантованих шарів монокристалів ГТГ у площині пластини.

**13. Напружений стан йонно-імплантованих з однієї сторони пластин монокристалів ГТГ** проявляється у їх вигині. Розраховані за значеннями радіусів кривизни пластин монокристалів ГТГ величини механічних напруг в йонно-імплантованому шарі зростають із збільшенням дози опромінення (рис. 10).

**14. Збільшення концентрації радіаційних дефектів в йонно-імплантованому шарі при наборі дози опромінення** проявляється у зміні величини мікротвердості приповерхневих шарів монокристалів ГТГ (рис. 11). Її зменшення у порівнянні із значенням для неімплантованих монокристалів обумовлене незначною кількістю радіаційних дефектів, які практично не гальмують рух дислокацій, та порушенням зв'язків між атомами кристалу. Наступне зростання величини мікротвердості в ділянці доз  $D > 2 \cdot 10^{15} \text{ см}^{-2}$  пояснюється інтенсифікацією процесів об'єднання радіаційних дефектів у комплекси, які перешкоджають руху дислокацій.



а



б

Рис. 9. Карты оберненого простору поблизу вузла (880) монокристалів ГТГ імплантованих йонами  $He^+$  з енергією 100 кеВ та дозами: а –  $2 \cdot 10^{15} \text{ см}^{-2}$ , б –  $6 \cdot 10^{15} \text{ см}^{-2}$ .

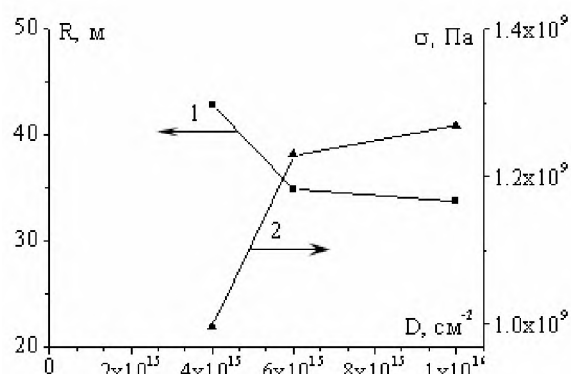


Рис. 10. Залежність експериментально обчисленого радіуса кривизни пластин монокристалів ГТГ (1) та величини механічних напруг (2) від дози імплантації йонів  $He^+$  ( $E = 100 \text{ кеВ}$ ).



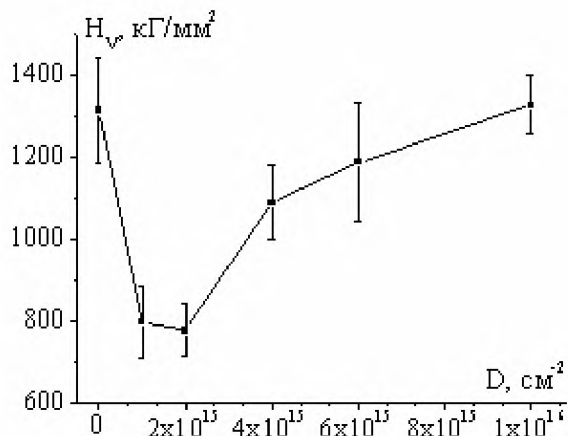


Рис. 11. Зміна величини мікротвердості  $H_v$  приповерхневих шарів монокристалів ГГ від величини дози імпантованих йонів  $He^+$  ( $E = 100$  кеВ).

**15. Аналіза причини зміни параметрів кристалічної структури приповерхневих шарів імпантованих йонами  $He^+$  монокристалів ГГ у процесі природнього старіння.**

З часом параметри деформованого шару монокристалів ГГ зазнають змін, які можна прослідкувати вже за отриманими через певні проміжки часу експериментальними КДВ (у першу чергу за кутовою довжиною додаткової осциляційної структури, яка характеризує максимальну деформацію в йонно-імпантованому шарі).

Обчислена величина відносної максимальної деформації (рис. 12) зазнала дещо несподіваних змін: замість очікуваного монотонного спадання з часом вона спочатку протягом 38 місяців зростала, а для дози  $1 \cdot 10^{16} \text{ см}^{-2}$  це зростання продовжувалося протягом всього досліджуваного інтервалу часу (50 міс.).

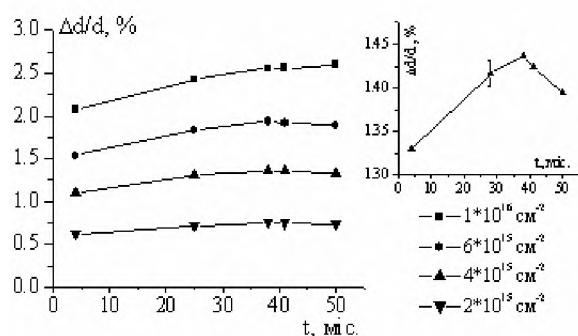


Рис. 12. Зміна з часом величини максимальної відносної деформації приповерхневих шарів монокристалів ГГ, імпантованих йонами  $He^+$  ( $E = 100$  кеВ) для різних величин доз опромінення. На вставці – ця ж залежність для дози  $4 \cdot 10^{15} \text{ см}^{-2}$ .

Профілі відносної деформації, розраховані з експериментальних КДВ, які отримані через різні проміжки часу після йонної імпантації, є однотипними. Товщина порушеного шару  $L$  та положення максимальної деформації  $R_p$  для всіх

доз протягом 38 місяців зменшується, а потім незначно зростає, причому для дози  $1 \cdot 10^{16} \text{ см}^{-2}$  вказане зростання не спостерігається (рис. 13). Відсутність змін ходу часових залежностей вище вказаних параметрів для дози опромінення  $1 \cdot 10^{16} \text{ см}^{-2}$  пов'язана з початком перекриття каскадів зміщених атомів, яке відбувається при цій дозі в матриці.

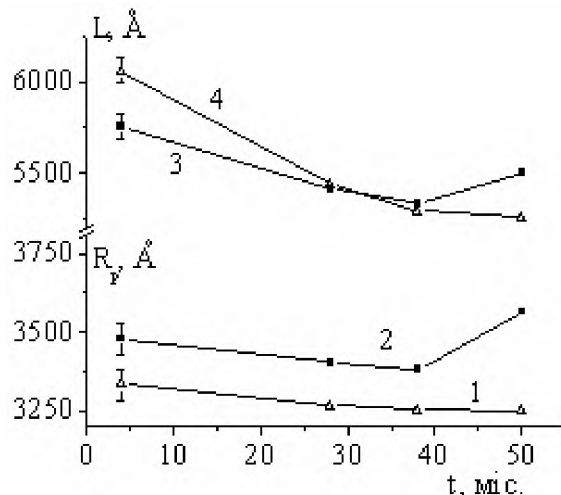


Рис. 13. Залежність положення максимальної деформації  $R_p$  (1, 2) та товщини порушеного шару  $L$  (3, 4) від часу в імпантованих йонами  $He^+$  монокристалах ГГ (2, 3 –  $4 \cdot 10^{15} \text{ см}^{-2}$ , 1, 4 –  $1 \cdot 10^{16} \text{ см}^{-2}$ ).

**16. Таким чином, у процесі перебудови кристалічної структури приповерхневого порушеного шару з часом можна виділити два етапи (для доз  $\leq 6 \cdot 10^{15} \text{ см}^{-2}$ ):** I-й етап – до 38 місяців, II-й етап – після 38 місяців. При  $D = 1 \cdot 10^{16} \text{ см}^{-2}$ , на відміну від нижчих доз опромінення, I-й етап старіння продовжується протягом усього часу дослідження.

**17. При розрахунку за узагальненою динамічною теорією розсіяння X-променів радіусів і концентрації радіаційних дефектів (дислокаційних петель) у приповерхневих шарах монокристалів ГГ вважалось, що їхня концентрація при кожному значенні величини дози імпантованих йонів  $He^+$  у процесі природнього старіння залишається сталою, а змінюються тільки розміри.** Розраховані середні радіуси дислокаційних петель у максимально деформованому шарі для різних значень доз опромінення представлено на рис. 14. Як видно з рис. 14, зміна величини радіуса дислокаційних петель у максимально деформованому шарі монокристалів ГГ з часом корелює із зміною величини максимальної відносної деформації.

Пояснення вказаних змін у приповерхневому деформованому шарі монокристала ГГ згідно сучасних уявлень про процес імпантації йонів у кристали є наступним. Радіаційні дефекти одразу ж після виникнення мігрують, анігілюють одні з одними, утворюють комплекси різного типу або



залишаються одиничними і стійкими. Комплекси міжвузельних атомів переходять у дислокаційні петлі міжвузельного типу, а вакансійні кластери – в дислокаційні петлі або вакансійні пори. Виходячи з того, що енергія міграції міжвузельних атомів менша за енергію міграції вакансій, за час остигання утворений в каскаді міжвузельний атом може віддалитися від місця свого утворення на більшу відстань, ніж вакансія.

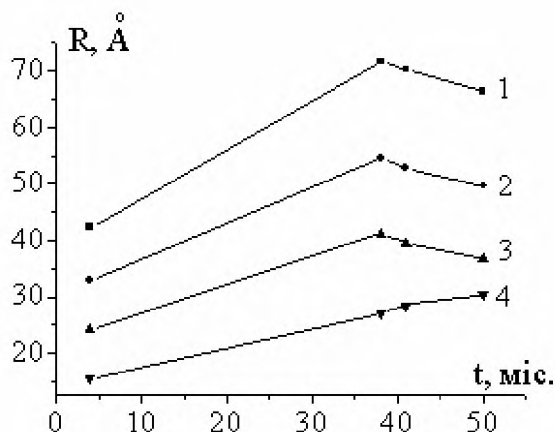


Рис. 14. Зміна з часом радіусів дислокаційних петель у максимально деформованому шарі монокристалів ГТГ для різних величин доз імпантатії йонами  $He^+$  (1 –  $2 \cdot 10^{15} \text{см}^{-2}$ , 2 –  $4 \cdot 10^{15} \text{см}^{-2}$ , 3 –  $6 \cdot 10^{15} \text{см}^{-2}$ , 4 –  $1 \cdot 10^{16} \text{см}^{-2}$ ).

**18. На I-му етапі старіння** міжвузельні атоми у йонно-імпантованому шарі, як такі, що призводять до зростання міжплощинної відстані, дифундують в об'єм кристалу із більшою величиною деформації. При цьому їх потік із об'єму кристалу з більшим середнім значенням градієнта деформації є інтенсивнішим. Ріст кількості міжвузельних атомів у максимально деформованому шарі призводить до зростання величини відносної максимальної деформації, а зміщення положення максимальної деформації до поверхні в модифікованих йонною імпантатією монокристалах ГТГ пояснюється більш інтенсивним утворенням дислокаційних петель міжвузельного типу в ділянці максимальної деформації зі сторони кристалу з більшим значенням градієнта деформації.

**19. Таким чином, на I-му етапі старіння** притік міжвузельних атомів у ділянку максимально деформованого шару монокристала ГТГ переважає над процесом їх релаксації в результаті приєднання до дислокаційних петель.

**20. На II-му етапі старіння**, на відміну від I-го, очевидно, переважає процес релаксації точкових дефектів, що веде до пониження значення максимальної деформації. При цьому деяка кількість вакансій релаксує із міжвузельними атомами, а решта – на дислокаційних петлях міжвузельного типу. Зміщення положення максимально деформованого шару вглиб кристалу пояснюється дифузією

атомів гелію в об'єм кристалу з більшою величиною деформації та блокуванням їх руху в цій ділянці через накопичення атомів гелію біля дислокаційних петель та утворення домішкових атмосфер типу Коттрела.

## Висновки

1. Комплексне X-променеве дифрактометричне дослідження монокристалів ГТГ з використанням дво- та трикристальної дифрактометрії показало, що у досліджуваних матеріалах наявні в основному дефекти I класу за Кривоглазовим. При цьому, основним типом ростових дефектів є дислокаційні петлі з середніми розмірами 6 та 600 нм.

2. Профілі відносної деформації імпантованих йонами  $He^+$  ( $E = 100 \text{ кеВ}$ ) монокристалів ГТГ в межах доз  $1 \cdot 10^{15} - 1 \cdot 10^{16} \text{см}^{-2}$  є однотипними; товщина порушеного шару з ростом величини дози імпантатії незначно зростає, а положення максимальної деформації зміщується до поверхні. В межах доз  $1 \cdot 10^{15} - 6 \cdot 10^{15} \text{см}^{-2}$  зміна величини відносної максимальної деформації та деформації на поверхні має лінійний характер, який порушується із подальшим зростанням дози, що свідчить про початок взаємодії радіаційних дефектів між собою.

3. Основними типами радіаційних дефектів, які утворюються в приповерхневих шарах монокристалів ГТГ при імпантатії йонами  $He^+$ , є точкові дефекти та дислокаційні петлі з середніми розмірами 3–7 нм. Із збільшенням дози імпантатії концентрація дислокаційних петель зростає, а їхній радіус зменшується.

4. Процес природнього старіння імпантованих йонами  $He^+$  приповерхневих шарів монокристалів ГТГ характеризується двома етапами: I-й етап – від 4 до 38 місяців, II-й етап – більше 38 місяців (для доз  $\leq 6 \cdot 10^{15} \text{см}^{-2}$ ). На першому етапі дифузія міжвузельних атомів у напрямку максимально деформованого шару переважає над механізмом об'єднання їх у петлі, що призводить до зміщення профілю деформації до поверхні та зростання величини максимальної деформації і збільшення радіусів дислокаційних петель. На другому етапі переважаючою є релаксація вакансій з міжвузельними атомами та на дислокаційних петлях міжвузельного типу, і дифузія атомів гелію в ділянці з більшою деформацією, що приводить до зменшення величини максимальної деформації та радіусів дислокаційних петель із зміщенням профілю деформації у глибину.

5. Незважаючи на великі значення відносної деформації у перпендикулярному до площини пластини напрямі (до 3%), стан у площині пластин імпантованих йонами  $He^+$  монокристалів ГТГ є повністю напруженим, а симетрія кристалічної ґратки в йонно-імпантованому шарі

понижується з кубічної до ромбоєдричної (кут при вершині ромбоєдра  $\alpha < 90^\circ$ ). Із збільшенням величини дози імплантації вище  $2 \cdot 10^{15} \text{ см}^{-2}$  мікротвердість йонно-імплантованого шару та радіус кривизни пластин монокристалів ГГГ зростають.

## Наукова новизна отриманих результатів

Використання сучасних експериментальних методів дослідження та теоретичних підходів дало можливість проаналізувати закономірності перебудови кристалічної структури йонно-імплантованих приповерхневих шарів монокристалів ГГГ у залежності від величини дози імплантації йонами  $He^+$  та у процесі старіння. Зокрема:

1. Виявлена динаміка зміни профілів відносної деформації імплантованих йонами  $He^+$  монокристалів ГГГ в інтервалі доз  $1 \cdot 10^{15}$ – $1 \cdot 10^{16} \text{ см}^{-2}$ , при цьому показано, що лінійний характер зміни величини деформації в максимально деформованому шарі вище дози  $6 \cdot 10^{15} \text{ см}^{-2}$  порушується, що є свідченням початку взаємодії радіаційних дефектів між собою.

2. Вперше показано, що основними типами складних радіаційних дефектів, які утворюються в приповерхневих шарах монокристалів ГГГ при імплантації йонами  $He^+$ , є дислокаційні петлі, концентрація яких із ростом величини дози вкоріненних йонів  $He^+$  збільшується, а радіус зменшується.

3. Вперше виявлено, що процес природнього старіння імплантованих йонами  $He^+$  приповерхневих шарів монокристалів ГГГ характеризується двома складовими, перший з яких супроводжується зростанням величини

максимальної деформації, а другий – її зменшенням.

4. Проаналізовано процеси, які відбуваються в приповерхневих імплантованих йонами  $He^+$  шарах монокристалів ГГГ при їх природньому старінні. Встановлено, що на першому етапі старіння відбувається збільшення радіусів дислокаційних петель та зміщення положення максимальної деформації до поверхні, а на другому – зменшення їх радіусів та зміщення положення максимальної деформації в глибину.

5. Досліджено вплив імплантації йонами  $He^+$  на параметри елементарних комірок та механічні властивості приповерхневих шарів пластин монокристалів ГГГ. Показано, що симетрія кристалічної ґратки в йонно-імплантованому шарі понижується, стан у площині пластин йонно-імплантованих монокристалів ГГГ є повністю напруженим, мікротвердість приповерхневих шарів монокристалів ГГГ для доз вище  $2 \cdot 10^{15} \text{ см}^{-2}$  зростає.

## Практичне значення отриманих результатів

Результати проведених досліджень дозволять розширити і поглибити розуміння фізики процесу утворення радіаційних дефектів у монокристалах ГГГ та їх релаксації внаслідок природнього старіння. Отримані результати можуть бути використані для створення нових методів структурної діагностики йонно-імплантованих приповерхневих шарів монокристалів. Застосований у роботі комплексний підхід до вивчення явищ та закономірностей, які протікають в опромінених матеріалах, можна використати під час створення радіаційно стійких матеріалів.

## Література

1. **Вплив кристалічної структури епітаксійних плівок ЗІГ на профілі деформації.** / [Б.К. Остафійчук, І.П. Яремій, В.І. Кравець, С.Я. Ключка, С.І. Яремій] // Фізика і хімія твердого тіла. – 2006. – Т.7, №3. – С. 436-441.
2. **Структурна діагностика приповерхневих шарів йонно-імплантованих монокристалів та плівок із структурою гранату.** / [І.П. Яремій, В.І. Кравець, В.М. Пилипів, С.І. Яремій] // Вісник Прикарпатського університету. Математика. Фізика. – 2007. – Вип. III. – С. 59-65.
3. **Механізми дефектоутворення при імплантації монокристалів ГГГ йонами  $B^+$  та  $He^+$ .** / [Б.К. Остафійчук, В.Д. Федорів, С.І. Яремій, І.П. Яремій, В.О. Коцюбинський, О.Ю. Бончик] // Металлофізика и новейшие технологии. – 2008. – Т. 30, № 9. – С. 1215-1227.
4. **Яремій С.І.** Вплив йонної імплантації на мікротвердість монокристалів ГГГ. / С.І. Яремій // Фізика і хімія твердого тіла. – 2008. – Т. 9, № 4. – С. 723-727.
5. **Яремій І.П.** Особливості старіння приповерхневих шарів монокристалів ГГГ модифікованих імплантацією йонів  $He^+$ . / І.П. Яремій, В.Д. Федорів, С.І. Яремій // Фізика і хімія твердого тіла. – 2010. – Т. 11, № 1. – С. 93-99.
6. **Вплив опромінення йонами  $He^+$  на дефектну структуру монокристалів ГГГ.** / [С.І. Яремій, В.Д. Федорів, І.П. Яремій, І.М. Фодчук, Р.А. Заплітний, В.П. Кладько] // Науковий вісник Чернівецького національного університету: збірник праць. Фізика. Електроніка. – Чернівці: Рута. – 2009. Випуск 438. – С. 89-94.

7. **Яремій І.П.** Структурні зміни в монокристалах галій-гадолінієвого гранату при іонній імплантації. / І.П. Яремій, В.І. Кравець, С.І. Семців (Яремій) // Фізика і технологія тонких плівок: VIII Міжнародна конференція МКФТТП-VIII. – Івано-Франківськ, 2001. – С. 250–251.
8. **Про можливість** однозначного визначення профілів відносної деформації за даними двокристалічної рентгенівської дифрактометрії. / [В.І. Кравець, І.П. Яремій, С.І. Яремій, Л.С. Яблонь] // Інформаційні технології в науці, освіті і техніці: III Всеукраїнська конференції молодих науковців ІТОНТ-2002. – Черкаси, 2002. – С. 24-25.
9. **Федорів В.Д.** Кристалічна структура приповерхневих шарів монокристалів ГГГ імплантованих легкими іонами. / В.Д. Федорів, С.І. Яремій, І.П. Яремій // Фізика і технологія тонких плівок та наносистем: XI Міжнародна конференція МКФТТПН-XI. – Івано-Франківськ, 2007. – С. 150–151.
10. **Яремій С.І.** Механічні властивості монокристалів ГГГ імплантованих іонами  $He^+$ . / С.І. Яремій // Міжнародна конференція студентів і молодих науковців з теоретичної та експериментальної фізики: ЕВРИКА-2008. – Львів, 2008. – С. В 28.
11. **Structural changes** in single crystals of gallium-gadolinium garnets after irradiation with  $He^+$  ions. / [В.К. Ostafiychuk, I.P. Yaremiy, S.I. Yaremiy, I.M. Fodchuk, R.A. Zaplitnyy and V.P. Kladko] // High Resolution X-Ray Diffraction and Imaging: 9<sup>th</sup> Biennial Conference X-Top 2008. – Linz, Austria, 2008. – P. WE – 111.
12. **Федорів В.Д.** Кінетика низькотемпературної релаксації монокристалів ГГГ імплантованих йонами  $He^+$ . / В.Д. Федорів, С.І. Яремій // Фізика і технологія тонких плівок та наносистем: XII Міжнародна конференція МКФТТПН-XII. – Івано-Франківськ, 2009. – С. 285–286.
13. **Структурные изменения** в монокристаллах галлий-гадолиниевых гранатов после облучения ионами  $He^+$ . / [В.К. Остафийчук, И.П. Яремий, С.И. Яремий, И.М. Фодчук, Р.А. Заплитный] // Фізика і технологія тонких плівок та наносистем: XII Міжнародна конференція МКФТТПН-XII. – Івано-Франківськ, 2009. – С. 234–236.
14. **Яремій С.І.** Вплив іонної імплантації на механічні напруги в пластинах монокристалів ГГГ. / С.І. Яремій // Міжнародна конференція студентів і молодих науковців з теоретичної та експериментальної фізики: ЕВРИКА-2009. – Львів, 2009. – С. С-49.

*Яремій С.І.* – провідний фахівець Навчально-дослідного центру діагностики матеріалів.

**Рецензент**

*Сіренко Г.О.* – доктор технічних наук, професор, завідувач катедри неорганічної та фізичної хемії Прикарпатського національного університету імені Василя Стефаника.